

## **A Study on Transdifferentiation of Bone Marrow Stromal Cells into Neuronal and Glial-Like Cells In Vitro by Different Inducers**

**Kaka GH., M.Sc., Tiraihi T., Ph.D.\* , Aziz zadeh Delshad A., Ph.D.**

\* P.O.Box: 14115-4838, Department of Anatomical Sciences, School of medical Sciences, Tarbiat Modares University, Tehran, Iran

### **Abstract**

**Introduction:** There are some evidences to suggest that bone marrow stromal cells (BMSCs) not only differentiate into mesodermal cells, but also adopt the fate of endodermal and ectodermal cell types. BMSCs can be a valuable cell source as an autograft for clinical application involving regeneration of the central nervous system. Bone marrow stromal cells can be expanded rapidly in vitro and can be differentiated into neuronal- and glial-like cells. In this study, we attempted to devise a protocol or protocols for the induction of BMSCs into neuroepithelial- and neuroglial-like cells.

**Materials and Methods:** Bone marrow was extracted from the femur and tibia of adult rat, and then bone marrow stromal cells with 4 passages were proliferated and cultured and then were evaluated with fibronectin by immunocytochemistry and Oct-4 by semi quantitative RT-PCR techniques. Also in this stage expression of Nestin, NF68, GFAP and O4 antibodies respectively markers of neuroepithelial, neuron, astrocytes and oligodendrocytes cells, were assessed. Rat BMSCs were differentiated by two consequent inducers into neuroepithelial, neuronal and glial-like cells. At pre-induction stage dimethyl sulfoxide (DMSO),  $\beta$ -mercaptoethanol ( $\beta$ ME) or biotylated hydroxyanisol (BHA) were separately and without fetal bovine serum (FBS) added to alpha minimal essential medium ( $\alpha$ -MEM), and then at induction stage the medium was replaced by retinoic acid (RA) and 15% FBS in  $\alpha$ -MEM. Four days later, expressions of neuronal and glial markers were assessed. In addition, expression of NeuroD and Oct-4 mRNA were assessed in these cells.

**Results:** More than 92% of BMSCs was fibronectin positive at passage 4. A few percent of BMSCs differentiated into neuroepithelial and neuron-like cells but no astrocyte and oligodendrocyte-like cells were detected. Oct-4 mRNA was highly expressed in these cells while NeuroD mRNA expression was not detected. Induction of BMSCs by DMSO-RA differentiated BMSCs into neuroepithelial and neuronal-like cells significantly compare to  $\beta$ ME-RA and BHA-RA. Transdifferentiation of the treated BMSCs into astrocytes and oligodendrocyte-like cells was less than 5 %. Induction of BMSCs by DMSO-RA resulted in expression of NeuroD mRNA but Oct-4 mRNA was not expressed in none of treatment groups.

**Conclusion:** Induction of BMSCs by different inducers specially DMSO-RA could highly transdifferentiate BMSCs into neuroepithelial and neuronal-like cells, whereas glial-like cells transdifferentiation was very low.

**Key words:** BMSCs, Neuroepithelial-like cells, Neuroglial-like cells, Transdifferentiation

## بررسی روند تمایز سلول‌های استرومایی مغز استخوان به سلول‌های شبه عصبی و گلیالی در شرایط محیط کشت تحت اثر عوامل القایی مختلف

\*\* غلامرضا کاکا M.Sc.\*، تقی طریحی Ph.D.\*، علیرضا عزیززاده دلشاد Ph.D.

\* گروه علوم تشریح دانشکده علوم پزشکی دانشگاه تربیت مدرس، تهران، ایران

\*\* گروه علوم تشریح دانشکده علوم پزشکی دانشگاه شاهد، تهران، ایران

تاریخ وصول: دی ماه ۸۷، تاریخ پذیرش: اسفندماه ۸۷

### چکیده

**هدف:** تمایز BMSCs (Bone Marrow Stromal Cells) به سلول‌های شبه نوروگلیال در محیط کشت تحت روش یا روش‌های معین مواد و روش‌ها: در این تحقیق BMSCs از استخوان فمور و تبیایی موش صحرایی بالغ تهییه و پس از رسیدن به پاساژ چهارم، بنیادی بودن و خلوصشان با بیان مارکر استرومایی فیبرونکتین توسط روش ایمونوسایتوشیمی و همچنین Oct-4 توسط روش semi-quantitative RT-PCR بررسی شد. ضمناً در این مرحله بیان آنتی‌بادی‌های GFAP، NF68، Nestin، O4 و GFAP نیز ارزیابی شد. سپس این سلول‌ها در دو مرحله پیش القا و القا به سلول‌های شبه Neuroepithelial، شبه نورونی و شبه گلیالی تمایز داده شدند. در مرحله پیش القا کاربرد یکی از محرك‌های butylatedhydroxyanisole (BME)، dimethylsulfoxide (DMSO) و beta-mercaptoethanol (BME) در سطح (α-MEM) به‌طور مجزا و بدون حضور fetalbovine serum (FBS) و فقط در محیط (BHA) در مرحله القا از retinoic acid (RA) به همراه FBS ۱۵ درصد استفاده شد. در بررسی میزان تمایز BMSCs پس از پایان چهار روز از مراحل القا از آنتی‌بادی‌های مذکور استفاده شد. همچنین بیان ژن NeuroD و Oct-4 در سطح mRNA بررسی شد.

**یافته‌ها:** سلول‌های BMSCs پس از پاساژ چهارم توانستند پروتئین Fibronectin را به میزان  $92/75 \pm 3/86$  درصد بیان کنند. در بررسی ایمونوسایتوشیمی در خصوص تمایز سلول‌ها مشخص شد که درصد ناچیزی به سلول‌های شبه Neuroepithelial و شبه نورونی تمایز یافته و تمایز به سلول‌های شبه آسترومایی و شبه الیگومندروسایت مشاهده نشد. همچنین در بررسی RT-PCR این سلول‌ها، mRNA ژن Oct-4 به‌خوبی بیان شد، در حالی که باند مشخصی در بیان mRNA ژن NeuroD در ژل الکتروفورز مشاهده نشد. بیان قابل توجه مارکر Nestin و NF68 توسط القا کننده‌های DMSO و RA در پایان مراحل پیش القا و القا توانست به‌طور معنی داری ( $P < 0.05$ )، درصد سلول‌های شبه نورواپیتیلیال ( $75 \pm 5/63$ ) و شبه نورونی ( $75 \pm 4/63$ ) بیشتری را نسبت به القا کننده‌های دیگر ایجاد کند درحالی که میزان تمایز به سلول‌های شبه آسترومایی و شبه الیگومندروسایت توسط القا کننده‌های فوق در این مرحله از ۵ درصد بود. لازم به ذکر است از بین سلول‌های در معرض تمایز در هر سه گروه القا فقط ۳ الی ۶/۶ درصد آنتی‌بادی Fibronectin را بیان کردند. همچنین فقط گروه DMSO-RA بیان mRNA ژن NeuroD را به‌خوبی نشان داد اما mRNA ژن Oct-4 در این مرحله در هیچ‌کدام از سه گروه القا کننده بیان نشد.

**نتیجه‌گیری:** BMSCs تحت اثر القا کننده‌های DMSO و RA توانست به میزان قابل ملاحظه‌ای به سلول‌های شبه نورواپیتیلیال و شبه نورونی تمایز شود در حالی که میزان تمایز به سلول‌های شبه گلیالی بسیار کم بود.

**کلید واژه‌ها:** سلول‌های استرومایی مغز استخوان، سلول‌های شبه نورواپیتیلیال، سلول‌های شبه نوروگلیال، تمایز

نوع روش‌های اعمال شده است. به عبارتی تمایز این سلول‌ها مخصوصاً به سلول‌های عصبی بستگی به شرایط محیط کشت و انتخاب نوع تحریک کننده و عوامل رشد یا اثرهای تنظیمی والقایی انواع فاکتورهای خارجی در محیط *In vitro* دارد [۱۳].

در ضمن تحقیقات نشان داده‌اند که القا کننده‌هایی نظری متفاوتی بوده و قادر به ایجاد شرایط خاص در محیط کشت هستند [۱۴ و ۱۵]. در این تحقیق تلاش شده تا روش یا روش‌های القایی مناسبی برای تمایز BMSCs به سلول‌های شبه نورواپیتیال و سلول‌های شبه نوروگلیال ارایه شود.

## مواد و روش‌ها

### BMSCs جadasازی و کشت سلول‌های

BMSCs از استخوانهای فمور و تیبیای موش صحرایی بالغ نژاد Sprague Dawley با سن ۶-۸ هفته تهیه شده از موسسه تحقیقات واکسن و سرم‌سازی رازی استخراج شد. بدین ترتیب که پس از جدا کردن عضلات اتصالی، دو انتهای استخوان قطع و با محیط کشت ( $\alpha$ -MEM (Gibco, UK) کامل شده با سرم ۱۵ FBS (Gibco, UK)، پنسیلین ۱۰۰ IU/ml و استرپتومایسین ۱۰۰ mg/ml توسط سوزن ۲۱ gauge عمل تخلیه و Flash out مغز استخوان صورت گرفت و سلول‌ها در محیط مناسب کشت داده شدند [۲]. پس از گذشت ۲۴ ساعت محیط کشت سلولی با محیط تازه تعویض شد. سلول‌های استرومایی چسبیده به کف فلاسک باقی مانده و سلول‌های خونی شناور حذف شدند. هنگامی که تراکم سلول‌های چسبیده به کف فلاسک به ۷۰ درصد رسید، پاساژ داده شدند. پاساژ سلول‌ها توسط تریپسین ۰/۲۵ درصد، پاساژ داده شدند. پاساژ سلول‌ها توسط تریپسین ۰/۰۴ درصد (EDTA) (Applichem, Germany) و اتیلن دی‌آمین تترا استیک اسید (Merck, Germany) انجام و این عمل

## مقدمه

سلول‌های بنیادی (Stem cells)، سلول‌های غیرتخصصی هستند که قادر به خود تکثیری (Self-renewal) بوده، در شرایط مناسب می‌تواند در یک محدوده وسیع به انواع سلول‌های بالغ تمایز یابند [۱ و ۲]. براساس منشاً و ظرفیت تمایزی دو نوع سلول بنیادی رویانی (Embryonic) و بالغ (Somatic) تشخیص داده شده است [۲]. سلول‌های استرومایی مغز استخوان (BMSCs) جزء سلول‌های بنیادی بالغ هستند که از مغز استخوان منشاً گرفته و قادرند به رده‌های مزانشیمی و غیرمزانشیمی تبدیل شوند [۳]. مغز استخوان شامل دو گروه سلول چندظرفیتی خون‌ساز (هماتوپویتیک) و غیرخون‌ساز است. سلول‌های غیرخون‌ساز، چندظرفیتی و BMSCs معمولاً به عنوان سلول‌های استرومایی مزانشیمی یا معرفی می‌شوند که قادرند به سلول‌هایی با منشاً مزانشیمی و غیرمزانشیمی تمایز یابند [۴]. BMSCs با محیطی که فراهم می‌کند نقش مهمی در شکل‌گیری و تمایز سلول‌های خونی بالغ از سلول‌های خون‌ساز فراهم می‌کند [۵]. BMSCs توانایی خود تکثیری بالایی داشته به ظروف کشت می‌چسبند [۶]. BMSCs به سهولت از مغز استخوان به دست آمده و به سرعت در محیط کشت گسترش می‌یابند [۶ و ۷]. این سلول‌های بنیادی، چندظرفیتی بوده و تحت شرایط آزمایشگاهی خاص دارای قدرت تمایز به چندین نوع سلول مختلف، مانند استیوبلاست، ادیپوسیت و کندروسیت هستند [۱ و ۴]. اخیراً ظرفیت تکوین BMSCs به رده‌های عصبی نظری نورون، آسترومایت، الیگو‌دندروسایت و سلول‌های شوان در محیط *In vivo* و *In vitro* گزارش شده است [۸-۱۲]. بنابراین می‌توان سلول‌های استرومایی مغز استخوان را منبع سلولی با ارزشی به عنوان پیوند اتوگرافت برای استفاده بالینی در زمینه ترمیم سیستم عصبی مرکزی و محیطی در نظر گرفت [۶]. یکی از نکات مهم در تحقیقات اخیر در زمینه تمایز BMSCs

سلول‌ها با PBS سه بار و هر بار ۵ دقیقه انجام شد. نمونه‌ها در معرض مخلوط سرم بز ۱۰ درصد و Triton X-100 ۰/۳ درصد به مدت یک ساعت قرار داده شد. پس از رقیق نمودن ۱:۱۰۰ آنتی‌بادی‌های اولیه، Nestin، NF68 Fbronectin، O4 و GFAP (۱:۸۰۰) که همه از نوع موشی بودند (همه از Chemicon)، هر کدام به طور مجزا روی یک لامل ریخته شد. به منظور جلوگیری از خشک شدن آنتی‌بادی، نمونه‌ها با یک قطعه پارافیلم پوشیده شده و در داخل پتری دیش مربوط قرار گرفته و به مدت یک شب در درجه حرارت ۴ درجه سانتی‌گراد انگویه شد. لامل‌ها پس از انجام شستشو با PBS مانند قبل مدت دو ساعت در دمای محیط در معرض آنتی‌بادی ثانویه ضد موشی (۱:۲۰۰) کونژوگه به قرار FITC گرفت. سپس شستشو با PBS انجام شد. نمونه‌ها توسط میکروسکوپ فلورسانس ZEISS بررسی شد. میزان شدت نور فلئورسانس مشاهده شده توسط فرد آزمایش‌کننده در مقایسه با میزان پشت زمینه ایجاد شده معیار مثبت یا منفی بودن سلول است. برای شمارش سلول‌ها از اتیدیوم بروماید ۱/۰ درصد به مدت یک دقیقه استفاده و شستشو توسط PBS انجام شد. در پایان هر لامل به طور معکوس توسط بافر گلیسرول روی لام قرار گرفت. نحوه شمارش بدین ترتیب بود که از هر ۲۰۰ سلول شمارش شده در مناطق مختلف لام تعداد سلول‌های ایمونوپوزیتیو مشخص هر گروه ثبت شد. این کار روی پنج لامل در یک وهله آزمایش انجام و در مجموع آزمایش پنج بار تکرار شد.

### نیمه کمی RT-PCR

سلول‌های تحت تمایز گروه‌های مختلف و نیز سلول‌های BMSCs تمایز نیافته به صورت جداگانه از کف فلاسک‌های کشت با محلول تریپسین و EDTA جدا شده و پس از سانتریفیوژ، مایع رویی خارج و توده سلولی به دست آمده

تا چهار پاساژ ادامه یافت. در این شرایط سلول‌ها از مورفولوژی یکسانی برخوردار شدند. برای بررسی خلوص سلول‌ها و همچنین استرومایی بودن آنها از آنتی‌بادی فیبرونکتین و همچنین mRNA ژن Oct-4 استفاده شد. ضمناً جهت بررسی احتمالی تمایز این سلول‌ها به سلول‌های شبه نوروگلیال بیان آنتی‌بادی‌های Nestin، NF68، GFAP و O4 ارزیابی شد.

### تعیین میزان حیات سلول‌ها با تریپان بلو

برای انجام آزمون Viability، حجمی از سوسپانسیون سلول‌ها به نسبت مساوی با تریپان بلو رنگ شدند. سلول‌های مرده به رنگ آبی مشخص شده که به همراه سلول‌های زنده شفاف توسط لام نیوبار به وسیله میکروسکوپ اینورت با بزرگنمایی ۲۰۰ شمارش شدند.

### پیش القا و القای سلول‌های BMSCs

پس از تریپسینه کردن BMSCs پاساژ چهار، تعداد ۵۰۰۰ سلول در هر یک از خانه‌های پلیت ۲۴ خانه‌ای لامل گذاری شده ریخته شد. در مرحله پیش القا از  $\beta$ ME یک میلی مولار، DMSO (محیط ۲ درصد) و ۲۰۰ میکرومولار به طور مجزا روی BMSCs حاوی محیط کشت بدون سرم استفاده شد [۱۴]. پس از گذشت ۲۴ ساعت از مرحله پیش القا، شستشو با PBS و با اضافه نمودن محیط و ۱۵ FBS درصد مرحله القا توسط RA یک میکرومولار به مدت ۳ روز اجرا شد [۱۵]. سپس لامل‌ها برداشت شده و پس از شستشو با PBS برای انجام ایمونو سایتوشیمی آماده شد.

### ایمونو سایتوشیمی سلول‌های BMSCs به سلول‌های شبه عصبی و گلیالی

BMSCs تمایز نیافته و تمایز یافته ابتدا توسط پارافرمالدیید ۴ درصد به مدت ۳۰ دقیقه تشییت شده، سپس شستشوی

جدول ۱. پرایمرهای forward (F) و reverse (R) استفاده شده به همراه برخی از ویژگی‌های آن‌ها نشان داده شده است.

زن‌ها	پرایمر' (5'→3')	جفت باز	شماره شناسه	دما اتصال
<b>β<sub>2</sub>M</b>	F: CCGTGATCTTCTGGTGCTT R: TTTGGGCTCCTCAGAGTG	۳۰۰	NM-012512	۵۸ °C
<b>NeuroD</b>	F: AAGCACCAAGATGGCACTGTC R: CAGGACTTGCATTGATACAC	۱۹۹	XM-341822	۵۶°C
<b>Oct-4</b>	F: AAGCTGCTGAAACAGAAGAGG R: ACACGGTTCTCAATGCTAGTC	۲۱۵	NM-001009178	۵۷ °C

## یافته‌ها

### جدا سازی و کشت سلول‌های BMSCs

بعد از چهار پاساژ BMSCs از لحاظ مورفولوژی ظاهری نسبتاً یک‌دست و یکنواخت به‌دست می‌آورند. سلول‌ها معمولاً به دو شکل در محیط نمایان هستند، تعدادی از سلول‌ها که در حال تکثیر هستند ظاهری گرد، کروی و کوچک دارند و مابقی که اکثریت سلول‌ها را به خود اختصاص می‌دهند به شکل دوکی و شبه فیبروبلاستی مشخص می‌شوند. برخی از سلول‌ها به صورت پهن و چسبنده به کف فلاسک و از نظر اندازه بزرگتر از سایر سلول‌ها در محیط کشت دیده می‌شوند.

### تعیین میزان حیات سلول‌ها با تریپان بلو

براساس viability test درصد BMSCs زنده القا نشده ۲۴ ساعت پس از پاساژ چهارم بیش از ۹۴ درصد بود که به صورت معنی‌داری بیش از گروه‌های القا شده بود. همچنین گروه‌های DMSO-RA و BHA-RA به طور معنی‌داری تعداد سلول زنده بیشتری نسبت به گروه BME-RA داشتند (شکل ۱).

برای اثبات استرومایی بودن سلول‌ها و تعیین خلوصشان آنتی‌بادی فیرونکتین استفاده شد. شکل ۲ مربوط به این آنتی‌بادی، سلول‌ها را با سیتوپلاسم حاوی رشته‌های سیز رنگ فیرونکتین نشان می‌دهد که برای تعیین درصد سلول‌های مثبت، هسته سلول‌ها توسط اتیدیوم بروماید به رنگ قرمز روشن رنگ شده است که ۹۲/۷۵±۳/۸۶ درصد سلول‌ها با

برای استخراج RNA آماده شد. پس از لیز نمودن سلول‌ها به کمک محلول RNX Plus (CinaGen Inc., Tehran, Iran) استخراج RNA با کمک آنزیم DNase I (Fermentas kit) حذف شد. سپس واکنش رونویسی RevertAid™ H Minus First Strand cDNA Synthesis Kit (Fermentas) ساخت آدنوزین مونو فسفات حلقوی (cDNA) مرحله PCR برای زن‌های جدول ۱ در حجم ۲۵ میکرولیتر با استفاده از دستورالعمل کیت سیناژن اجرا شد. واکنش در دستگاه Thermal cycler (BIO RAD) صورت گرفت. لازم به توضیح است که در هر وله از انجام PCR یک کترل منفی نیز به کار گرفته شد. میکروفیوژ کترل منفی به جای cDNA حاوی ۵ میکرولیتر آب دیونیزه استریل و پرایمرهای β<sub>2</sub>M و microglobulin β<sub>2</sub> بود. محصول واکنش PCR روی ژل آگارز ۲ درصد الکتروفورز شد و مابقی محصول PCR در دمای ۲۰ درجه سانتی‌گراد نگهداری شد.

### تجزیه و تحلیل آماری

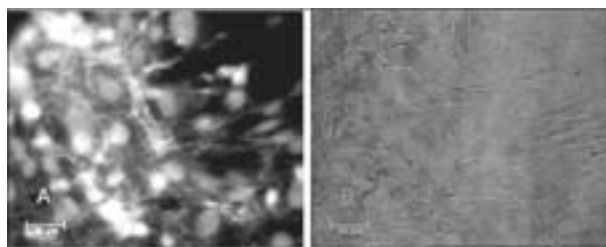
تمام مقادیر بر حسب Mean±SD ارایه شده است. اطلاعات به‌دست آمده از آزمون زنده بودن سلول‌ها و شمارش سلولی توسط روش آماری آنالیز واریانس یک طرفه (ANOVA) و آزمون TUKEY مقایسه شد. سطح معنی‌داری P<0.05 در نظر گرفته شد.

جدول ۲. این جدول ارزیابی کمی از آنتی بادی های Fibronectin، Nestin، NF68، GFAP و O4 به ترتیب برای تعیین تعداد سلول های BMSCs، شبیه نورونی، شبیه آستروسایت و شبیه الیگو دندروسایت توسط روش ایمونو سایتو شیمی در مرحله قبل از تمایز و بعد از ایجاد تمایز توسط القا کننده های مختلف را نشان می دهد.

BME-RA	DMSO-RA	BHA-RA	BMSC	آنتی بادی ها
				گروه ها
۷/۶±۱/۸۴*†	۳/۱±۱/۴۸*	۳/۸±۱/۵۴*	۹۲/۷۵±۳/۸۶	Fibronectin
۶۲/۰۵±۶/۴۵*†	۷۵/۰۳±۶/۶۳*	۴۰/۱±۷/۴۶*†	۰/۹۵±۰/۷۵	Nestin
۵۷/۷±۶/۹۰*	۷۲±۵/۶۲*	۳۹±۶/۴۴*†	۱/۰۵±۰/۷۵	NF68
۴/۲±۲/۷۶*	۴/۲۵±۲/۲۲*	۱/۲۵±۱/۱۶*†	۰±۰	GFAP
۱/۹۵±۱/۹۸*	۴/۸±۱/۷۳*	۱/۲±۱/۲۸*†	۰±۰	O4

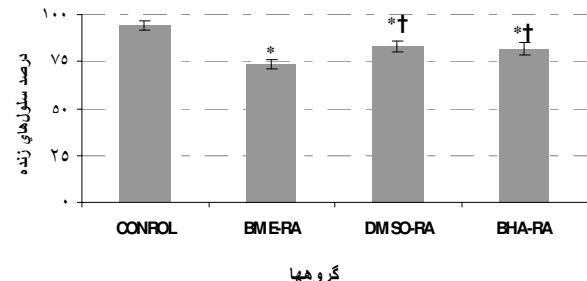
\*: نشان دهنده وجود اختلاف معنی دار گروه های تمایز یافته با گروه BMSCs

†: نشان دهنده وجود اختلاف معنی دار گروه القا کننده DMSO-RA با دیگر گروه های القا کننده است.



شکل ۲. A. میکرو گراف مربوط به رنگ آمیزی ایمنوفلورسانس آنتی بادی آنتی Fibronectin از سلول های تمایز نیافه BMSCs در پایان پاساز چهارم است نور فلورسانس مرتبه با آنتی بادی ثانویه کوژنوج به FITC است که به رنگ سبز دیده می شوند. میکرو گراف B نیز فاز کنترast مریبوط به تصویر سمت چپ با همان میدان دید است. برای شمارش سلول ها از رنگ اتیدیوم بروماید استفاده شده که هسته سلول ها قرمز شود.

در بررسی مورفولوژی BMSCs قبل از شروع تمایز این سلول ها به شکل کاملاً پهن و گسترده با زواید کوتاه و هسته بیضی مسطح دارای یک تا چند هستک بود و به کف فلاسک چسبیده اند و دو روز پس از شروع القا جسم سلولی بر جسته شده زواید و استطاله هایی در سلول ایجاد می شود که گاهی چند برابر جسم سلولی شده و با سلول های جانبی ارتباط برقرار می کند بدین ترتیب ظاهر سلول ها در هر سه گروه القا کننده ویژگی های یک سلول شبیه عصبی را داشتند (شکل ۵).



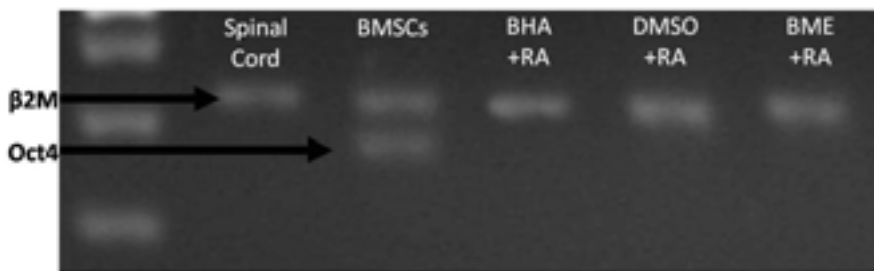
شکل ۱. مقایسه درصد سلول های زنده در گروه کنترل سلول های BMSCs بدون القا و سه گروه تحت القا را نشان می دهد.

\*: اختلاف معنی دار با گروه کنترل

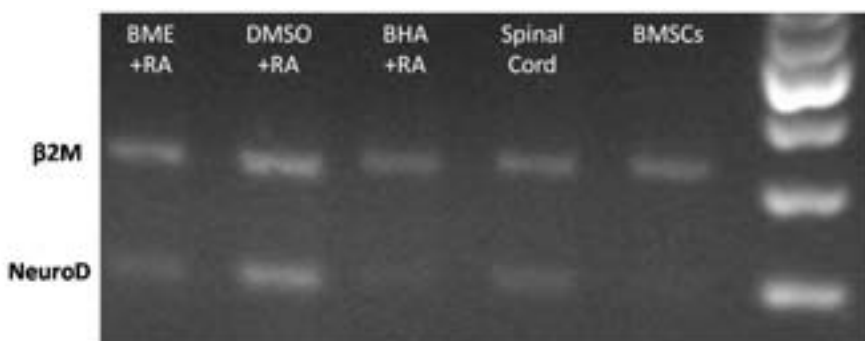
†: اختلاف معنی دار با گروه BME-RA

آنتی فیرونکتین و اکتین دادند (شکل ۲). در این مرحله بررسی ایمونو سایتو شیمی روی سلول های القا نشده BMSCs با استفاده از آنتی بادی های Nestin و NF68 و انجام شد که به ترتیب ۰/۹۵ و ۱/۰۵ درصد بود اما آنتی بادی های GFAP و O4 بیان نشد (جدول ۲).

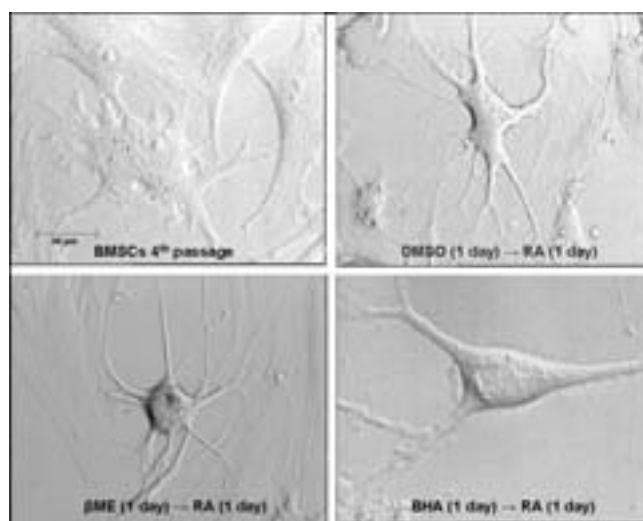
همچنین در بررسی RT-PCR این سلول ها (BMSCs) mRNA ژن Oct-4 به خوبی بیان شد، در حالی که باند مشخصی در بیان mRNA ژن NeuroD در ژل الکترو فورز مشاهده نشد (شکل های ۳ و ۴).



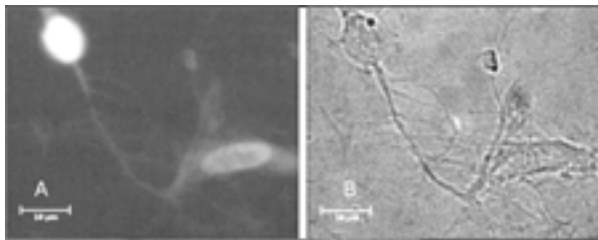
شکل ۳. الکتروفوروگرام از محصول RT-PCR حاصل از استخراج mRNA ژن Oct-4 و  $\beta_2$ M در گروه BMSCs پیش از القا و پس از مرحله القا در هر سه گروه القا کننده و همچنین گروه Spinal cord به عنوان گروه کنترل منفی نشان داده شده است. ژن  $\beta_2$ M به عنوان ژن کنترل داخلی استفاده شد. Lane سمت چپ DNA Lader را نشان می‌دهد.



شکل ۴. یک الکتروفوروگرام از محصول RT-PCR حاصل از استخراج mRNA یان ژن NeuroD و  $\beta_2$ M در گروه BMSCs پیش از القا و پس از القا در هر سه گروه القا کننده و همچنین گروه Spinal cord نشان داده شده است. ژن  $\beta_2$ M به عنوان ژن کنترل داخلی استفاده شد. Lane سمت راست DNA Lader را نشان می‌دهد.



شکل ۵. مورفولوژی تعدادی از سلول‌های BMSCs ۲۴ ساعت پس از پاساز چهارم (عکس سمت چپ و بالا) و دو روز پس از شروع پیش القا و القا در سه گروه القا کننده مختلف.



شکل ۷. A. میکروگراف مربوط به رنگ آمیزی ایمونوفلورسانس آنتی بادی آنتی GFAP از سلول‌های تمایز یافته BMSCs در پایان مرحله القا است. میکروگراف B نیز فازکتراست مرتبط به تصویر سمت چپ با همان میدان دید است. برای شمارش سلول‌ها از رنگ اتیدیوم بروماید استفاده شده که هسته سلول‌ها قرمز شود.

از طرفی تمایز به سلول‌های شبه الیگومندروسايت توسط القا کننده‌های DMSO-RA نیز در این مرحله  $۴/۸ \pm ۱/۷۳$  درصد بود که به میزان معنی‌داری بیش از دو گروه القا کننده دیگر بود (جدول ۲). لازم به ذکر است از بین سلول‌های در معرض تمایز در هر سه گروه القاگر کمترین بیان آنتی بادی DMSO-RA در گروه Fibronectin مشاهده شد که نسبت به گروه BME-RA معنی‌دار و نسبت به گروه BHA-RA معنی‌دار نبود.

### نیمه‌کمی RT-PCR

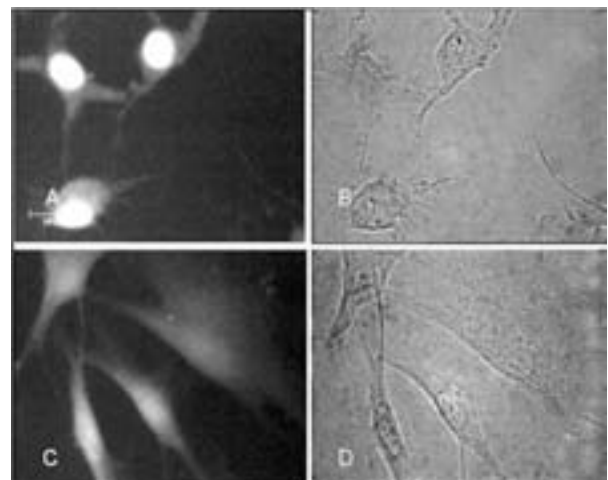
در بررسی نیمه‌کمی RT-PCR مشخص شد که فقط گروه DMSO-RA توانست باند مشخصی را از بیان ژن mRNA NeuroD روی ژل الکتروفورز به خوبی نشان دهد اما بیان ژن Oct-4 در این مرحله در هیچ‌کدام از سه گروه القا کننده مشاهده نشد (شکل‌های ۳ و ۴ و جدول ۳).

جدول ۳. خلاصه‌ای از بیان ژن‌های mRNA  $\beta_2M$  و NeuroD در گروه BMSCs پیش از القا و پس از القا در هر سه گروه القا کننده و همچنین گروه Spinal cord نشان داده شده است.

گروه‌های آزمایش	بیان ژن	
	Oct-4	NeuroD
BMSCs	قوی	منفی
$\beta$ ME-RA	منفی	ضعیف
DMSO-RA	منفی	قوی
BHA-RA	منفی	ضعیف
Spinal cord	منفی	ضعیف

### ایمونوسایتو شیمی سلول‌های BMSCs پس از پیش القا و القا

در بررسی ایمونوسایتو شیمی سلول‌های BMSCs بعد از مرحله القا با آنتی بادی‌های Nestin, NF68, GFAP و O4 به ترتیب در صدهای متفاوتی از ایمونوپوزیتیو بودن سلول‌ها به وسیله میکروسکوپ فلئورسنت تشخیص داده شد. به منظور تعیین درصد سلول‌های مثبت شبه عصبی و همچنین شبه گلیالی شمارش سلولی صورت گرفت. بیان قابل توجه نشانگر Nestin و NF68 در پایان مرحله القا کننده‌های DMSO و RA توسط القا کننده‌های Nestin و NF68 توسط القا کننده‌های DMSO و RA در پایان مرحله القا و القا به طور معنی‌داری درصد سلول‌های شبه نورواپتیلیال ( $۷۵/۰۳ \pm ۴/۶۳$ ) و شبه نورونی ( $۷۲/۰۵ \pm ۵/۶۲$ ) بیشتری را نسبت به القا کننده‌های دیگر ایجاد کرد (جدول ۲ و شکل ۶). در حالی که میزان تمایز به سلول‌های شبه BME-RA و DMSO-RA در این مرحله بسیار کم و فقط به ترتیب  $۴/۲۵ \pm ۲/۲۲$  و  $۴/۲ \pm ۲/۷۶$  درصد بود که هر دو به طور معنی‌داری بیشتر از BHA-RA بیان شدند (جدول ۲ و شکل ۷).



شکل ۶. A و C به ترتیب مربوط به رنگ آمیزی ایمونوفلورسانس آنتی بادی‌های آنتی Nestin و آنتی NF68 از سلول‌های تمایز یافته BMSCs در پایان مرحله القا است و سلول‌های تمایز یافته با نور فلورسانس مرتبط با آنتی بادی ثانویه کوژنوجک به FITC است که به رنگ سبز دیده می‌شوند. میکروگراف‌های B و D نیز به ترتیب فازکتراست مربوط به هر کدام از تصاویر سمت چپ با همان میدان دیده است. برای شمارش سلول‌ها از رنگ اتیدیوم بروماید استفاده شده که هسته سلول‌ها قرمز شود.

## بمث

تمایز سلول‌های استرومایی به شبیه عصبی و گلیالی (Sanchez-Ramos) و همکاران تأثیر RA و BDNF را بر سلول‌های MSC انسان و موش بررسی کرده و نشان دادند که این سلول‌ها می‌توانند نشانگرهای نورون‌های نابالغ را بیان کنند [۱۸]، پادووان (Padovan) نشان داد که MSCs انسان وقتی که با نوروتروفین‌ها نظیر نوروتروفین ۳ یا فاکتور نوروتروفیک مشتق از مغز (BDNF) تحریک شود. نشانگر سلول عصبی نابالغ III- $\beta$ -tubulin را بیان می‌کند [۹]. اخیراً ژانگ (Zhang) و همکاران نشان دادند که ترکیب فاکتور رشد فیبروبلاستی پایه (bFGF) با گانگلوزید ممکن است به طور فرایندهای تبدیل MSCs رت بالغ را به سوی سلول شبیه عصبی و شبیه آسترومایت پیش برد [۱۷].

از آنجایی که درصد بیان نشانگرهای نورونی در تحقیقات فوق حدود ۱۵ الی ۴۸ درصد بود، تلاش شد تا این میزان بیان افزایش یابد.

در این تحقیق برای تعیین درصد خلوص سلول‌های استرومایی به دلیل وجود گلیکوپروتئین فیرونکتین در سلول‌های با منشا مزانشیمی، سلول‌های BMSCs علیه این گلیکوپروتئین به روش ایمنوسایتوشیمی رنگ شد که ۹۷ درصد سلول‌ها رنگ گرفتند که این روش توسط سایر محققین نیز انجام شده است [۲ و ۱۹]. همان‌گونه که ذکر شد یکی از عوامل مهم در تمایز سلولی نوع ماده القاکننده محسوب می‌شود، در این تحقیق یکی از داروها و القاکننده‌های DMSO، BME و RA با دوزهای مشخص برای القای استفاده شد. این دوزها در تحقیق‌های انجام شده به منظور تمایز سلول‌های بنیادی نظیر سلول‌های جنینی، عصبی، گلیال بويایي به سلول‌های نورونی و گلیالی استفاده شده است [۱۴ و ۲۰]. ثابت شده است که DMSO و BME می‌توانند در بقا و تمایز سلول‌های عصبی مغز جنین موش مؤثر باشند [۱۵].

دنگ (Deng) و همکارانش در سال ۲۰۰۱ گزارش کردند که ترکیبات افزایش‌دهنده سطح آدنوزین مونوفسفات حلقوی داخل سلولی (cAMP) نظیر (IBMX) isobutylmethylxanthine و dibutyryl cAMP می‌تواند MSCs انسانی کشت شده را

استفاده بالینی از BMSCs برای پیوند درمانی دارای مزایای متعددی است. کاربرد BMSCs مزایای بیشتری نسبت به سلول‌های بنیادی عصبی و سلول‌های بنیادی جنینی دارد، به عنوان مثال نداشتن مشکل اخلاقی، ایمنی و عدم رد پیوند و تهیه آسان از جمله مزیت‌های به کارگیری این سلول‌هاست [۱۶]. در ضمن داروها و القای کننده‌های RA و  $\beta$ ME DMSO، BHA دارای آثار القایی تمایزی متفاوتی بوده و قادر به ایجاد شرایط خاص در محیط کشت و اثر تمایزی بر روی BMSCs داشته و آن‌ها را به سمت سلول‌های شبیه عصبی و شبیه گلیالی پیش می‌برد [۱۴ و ۱۵]. همان‌گونه که اشاره شد BMSCs پس از استخراج و کشت در شرایط محیط آزمایشگاهی پس از چند پاساژ مورفولوژی یکسانی پیدا کرده و از سرعت تکثیر بالایی برخوردار هستند. یکی از تفاوت‌های تحقیقات انجام شده روی تمایز این سلول‌ها به سلول‌های نوروگلیال، نوع سرم استفاده شده است که احتمالاً وجود عناصر متعدد و متفاوت در سرم، می‌تواند به عنوان یک مکمل در تمایز محسوب شود. عامل دوم گزارش‌های متفاوت در تمایز به BMSCs سلول‌های شبیه عصبی، تفاوت در گونه یا نژاد است [۳، ۴ و ۶]. تا کنون تمایز BMSCs به سلول‌های شبیه عصبی و گلیالی در چندین‌گونه مثل موش صحرایی، موش کوچک و انسان نشان داده شده است. سومین و مهمترین عامل تفاوت در بین گزارش‌ها، اختلاف در استفاده از مواد و القاکننده‌های تمایز به سلول‌های شبیه عصبی و گلیالی است. بعضی از این عوامل شامل ترکیبی از RA و فاکتورهای رشد، BME به اضافه BHA با یا بدون فاکتورهای رشد است. تحقیقات نشان داده‌اند که عوامل متفاوت مانند سایتوکاین‌های خاص، فاکتورهای رشد، نوروتروفین‌ها و RA، القای عصبی و گلیالی مناسبی را در هر دو محیط *In vivo* و *In vitro* با استفاده از MSC باعث می‌شوند [۱۷]. یسمانچی (Rismanchi) و همکاران در محیط *In vitro* ثابت کرد که MSCs توانایی بیان مارکرهای نورونی و گلیالی را دارد [۴]. سانچز-راموس

محیط آزمایشگاهی به سمت سرنشست عصبی هدایت کنند. به دلیل نقش مهم آستروسایت‌ها در تکوین دستگاه عصبی و همچنین بلوغ سلول‌های عصبی در این تحقیق تمایز BMSCs به آستروسایت نیز برسی شد. در بررسی ایمونوسایتوشیمی با استفاده از آنتی‌بادی GFAP مشخص شد که DMSO-RA و BME-RA بدون اختلاف معنی‌داری هر دو توانستند حدود ۴/۲ درصد از سلول‌های BMSCs را به آستروسایت تمایز دهنده اما BHA-RA فقط ۱/۲ درصد از این تمایز را ایجاد کرد که علت را شاید بتوان با بررسی تغییرات در سطح سلولی و ملکولی جستجو کرد. ودبوری (Woodbury) و همکاران با اضافه نمودن BME در محیط کشت MSCs رت بالغ متوجه شدن این سلول‌ها به سرعت به سلول‌های شبه نورونی تمایز یافتند ولی به سلول‌های گلیالی تمایز نیافتد [۲۳]. اما نتایج بررسی تمایز به سلول‌های گلیالی اولیگو‌دندروسایت نشان دهنده واکنش مثبت سلول‌های القا شده به آنتی‌بادی O4 بود که در (۴/۸ درصد) BME-RA به میزان معنی‌داری بیش از (۱/۹ درصد) DMSO-RA و (۱/۲ درصد) BHA-RA بود. این بیان نه چندان زیاد را شاید بتوان به اثر DMSO نسبت داد که بررسی بیشتری نیاز دارد.

نتایج به دست آمده در این تحقیق گویای این است که با استفاده از القا کننده‌های مختلف از جمله DMSO-RA با پرتوکل مشخص می‌توان در شرایط محیط کشت سلول‌های استرومایی مغز استخوان موش صحرایی را اغلب به سمت سلول‌های شبه نورواپتیلیال، شبه عصبی و با درصد بسیار کمتر به شبه گلیالی تمایز داد.

## تقدیر و تشکر

از مرکز علوم اعصاب بیمارستان خاتم الانبیا بابت پرداخت هزینه مواد و استفاده از میکروسکوپ فلورسنت و همچنین مسئولان محترم دانشگاه علوم پزشکی بقیه الله (عج) که شرایط تحصیل اینجانب را فراهم نمودند، تقدیر و تشکر می‌شود.

تحریک کرده و مورفولوژی سلول عصبی ظاهر نماید [۱۲]. مطالعه دیگری نشان داد که استفاده از BHA موجب افزایش سطح cAMP داخل سلولی شده و این افزایش یکی از نیازهای تمایز سلول‌های عصبی در جنین را فراهم می‌کند [۱۴]. RA یکی از مشتقات ویتامین A بوده و نقشی ضروری در رشد و تکامل سلول دارد. در حقیقت این ماده در بافت‌های مختلف جنینی و بالغ حیوانات به ویژه در سیستم عصبی وجود دارد که سبب پیشرفت در تمایز عصبی می‌شود [۲۱]. در این تحقیق از چهار نوع نشانگر (Nestin، NF68، O4.GFAP) برای شناسایی سلول‌های شبه عصبی و شبه گلیالی استفاده شد. Nestin متعلق به کلاس شش فیلامان‌های بینابینی بوده و بیشترین بیان را در سلول‌های نورواپتیلیال دارد و همچنین در سلول‌های نوروبلاست نیز بیان می‌شود. نروفیلامان ۶۸ نیز عضوی از خانواده فیلامان‌های بینابینی است که با تراکم زیاد در طول آکسون نورون‌های مهره‌داران (Glial Fibrillary Acidic Protein) GFAP قرار دارد. بینابینی با قطر ۱۰ نانومتر است که به‌طور اختصاصی در سلول‌های آستروسایتی وجود دارد. آنتی‌بادی مونوکلونال O4 با آنتی‌ژنهای متفاوتی که در زمان‌های مختلف روی سطح پروژنیورهای اولیگو‌دندروسایتی بیان می‌شود واکنش می‌هد [۲۲]. اثر القایی DMSO-RA روی BMSCs در ایجاد تمایز به سلول‌های شبه عصبی به مراتب بیش از BME-RA و BHA-RA بود. توجه به ویژگی‌های مورفولوژیکی سلول‌ها نشان از دستیابی به سلول شبه عصبی با زواید مربوط است که در هر سه روش القایی دیده می‌شود. چهار روز پس از القا در تمام گروه‌های درمانی، سلول‌ها با آنتی‌بادی‌های Nestin و NF68 واکنش دادند که مورفولوژی سلول‌ها و شدت نور فلئورسانس مشاهده شده گویای تمایز شبه عصبی این سلول‌ها بود و این میزان واکنش در DMSO-RA بیش از دو گروه دیگر بود که این یافته در نوع خود جدید است. اخیراً گزارش شده که آستروسایت‌های بالغ می‌توانند فرایند تکوین نورون (نوروژنیزیس) را تنظیم کرده و سلول‌های بینادی را در

## References

1. **Wislet-Gendebien S, Wautier F, Leprince P, Rogister B.** Astrocytic and neuronal fate of mesenchymal stem cells expressing nestin. *Brain Res Bulletin* 2005; 1.2: 31-8.
2. **Zhao L, Duan W.** Human bone marrow stem cells exhibit neural phenotypes and ameliorate neurological deficits after grafting into the ischemic brain of rats. *Exp Neurol* 2002; 174: 11-20.
3. **Garcia R, Aguiar J, Alberti E, Cuetara K, Pavon N.** Bone marrow stromal cells produce nerve growth factor and glial cell line – derived neurotrophic factors. *BBRC* 2004 ; 316 (3): 753-4.
4. **Rismanchi N.** Floyd CL, Berman RF, Lyeth BG. Cell death and long term maintenance of rat bone marrow stromal cells:a comparison of protocols. *Brain Res*, 2003; 991: 46-55.
5. **Tuszynski MH, Lu P, Blesch A.** Induction of bone marrow stromal cells to neurons: Differentiation, Transdifferentiation, or Artifact? *J Neurosci Res* 2004; 77: 174-91.
6. **Stewart R, Przyborski S.** Non- neural adult stem cells: tools for brain repair. *Bio Essays* 2002; 24: 708-13.
7. **Javazon EH, Colter DC.** Rat marrow stromal cells are more sensitive to plating density and expand more rapidly from single – cell-derived colonies than human marrow stromal cells. *Stem Cell* 2001; 19: 219-25.
8. **Lee JB, Kuroda S, Shichinohe H, Yano S, Kobayashi H, Hida K, et al.** A pre- clinical assessment model of rat autogenic bone marrow stromal cell transplantation into the central nervous system. *Brain Res Protocol* 2004; 14: 37-44.
9. **Padovan CS, Jahn K, Birnbaum T, Reich P, Sostak P, Strupp M, et al.** Expression of neuronal markers in differentiated marrow stromal cells and CD133+ stem-like cells. *Cell Transplant* 2003; 12: 839-48.
10. **Bossolasco P, Cova L, Calzarossa C, Rimoldi SG, Borsotti C, Lambertenghi Deliliers G, et al.** Neuro-glial differentiation of human bone marrow stem cells in vitro. *Exp Neurol* 2005; 193: 312-25.
11. **Brazelton, TR, Rossi FMV, Keshet GI, Blau HM.** From marrow to brain: expression of neuronal phenotypes in adult mice. *Science* 2000; 290: 1775-9.
12. **Deng W, Obrocka M, Fischer I, Prockop DJ.** In vitro differentiation of human marrow stromal cells into early progenitors of neural cells by conditions that increase intracellular cyclic AMP, *Biochem. Biophys Res Commun* 2001; 282: 148-52.
13. **Gritti A, Vescovi AL.** Adult neural stem cells: plasticity and developmental potential, *J physiol* 2002 ; 96: 81-90.
14. **Keilhoff G, Goihi A, Langnase K, Fansa H, Wolf G.** Transdifferentiation of mesenchymal stem cells into Schwann cell-like myelinating cells. *Europ J Cell Biol* 2006; 85: 11-24.
15. **Woodbury D, Schwarz EJ, Prockop DJ, Black IB.** Adult Rat and Human Bone Marrow Stromal Cells Differentiate into Neurons. *J Neurosci Res* 2000; 61: 364-70.
16. **Suzuki H, Taguchi T, Tanaka H, Kataoka H, Li Z, Muramatsu K, et al.** Neurospheres induced from bone marrow stromal cells are multipotent for differentiation into neuron, astrocyte, and oligodendrocyte phenotypes. *Biochem Biophys Res Commun* 2004;322: 918-22.
17. **Zhang H, Wang JZ, Sun HY, Zhang JN, Yang SY.** The effects of GM1 and bFGF synergistically inducing adult rat bone marrow stromal cells to form neural progenitor cells and their differentiation. *Chin J Traumatol* 2004; 7: 3-6.
18. **Sanchez- Ramos JR.** Neural cells derived from adult bone marrow and umbilical cord blood. *J Neurosci Res* 2002; 69: 880-93.
19. **Azizi SA, Stokes D, Augelli BJ, Digirolamo C, Prockop DJ.** Engraftment and migration of human bone marrow stromal cells implanted in the brains

- of albino rats – similarities to astrocyte grafts. Proc Natl Acad Sci USA 1998; 95: 3908-13.
20. **Esmaeili F.** Evaluation of gene neurotrophic Factors by deprenile in embryonic stem cells after in vitro differentiation into neuroepithelium. Ph.D. Thesis, Tarbiat modares university Faculty medicine 1383. (Persian)
  21. **Takahashi J, Palmer TD, Gage FH.** Retinoic acid and neurotrophins collaborate to regulate neurogenesis in adultderived neural stem cell cultures. J Neurobiol 1999; 38: 65-81.
  22. **Albert B, Johnson A, Lewis J, Raff M, Robert K, Walter P.** Molecular biology of the cell, 4<sup>th</sup> ed, Catland science, 2001, pp 926-1125.
  23. **Woodbury D, Schwarz Emily J, Ira B.** Adult Rat and human bone marrow stromal stem cells differentiate into neurons. J Neurosci Res 2002; 61: 364-70.